

# Lasso 优化算法的探讨和比较

李宗翰, 蒋佩禧, 袁浩然

2020 年 7 月 10 日

# 大作业分工

算法讨论实现：李宗翰, 袁浩然, 蒋佩禧

代码编写：李宗翰, 蒋佩禧

PPT 制作：袁浩然, 李宗翰

大作业文档写作：蒋佩禧, 李宗翰

大作业展示：李宗翰

# 目录

## 1 Lasso

## 2 算法

- CVX
- 近端梯度算法
- 加速近端梯度算法
- ADMM

## 3 数值实验

## 4 总结

## 5 小作业情况

# Lasso

$\ell_1$  -regularized least squares (LS) problem:

$$\min \left\{ \frac{1}{2} \|\mathcal{A}x - b\|^2 + \gamma \|x\|_1 \right\}$$

CVX is a modeling system for constructing and solving disciplined convex programs (DCPs).<sup>1</sup>

CVX 作为用多方法进行数值实验的数值标准

---

<sup>1</sup>en2.

```
cvx_begin quiet
cvx_precision low
variable x(n)
minimize(0.5*sum_square(A*x - b) + gamma*norm(x,1))
cvx_end
```

# Proximal gradient method

$$f(x) = (1/2)\|Ax - b\|_2^2, \quad g(x) = \gamma\|x\|_1$$

Consider the problem

$$\text{minimize} \quad f(x) + g(x)$$

# 近端算子 (Proximal Operator)

$$\text{prox}_h(w) = \arg \min_u \left\{ h(u) + \frac{1}{2} \|u - w\|_2^2 \right\}$$

其中  $\text{prox}_h(w)$  表示变量  $w$  和函数  $h(\cdot)$  的近端算子。上面的公式的意义是：对于任意给定的  $w \in R^n$ ，我们希望找到使得  $h(u) + \frac{1}{2} \|u - w\|_2^2$  最小化的解<sup>2</sup>



# Proximal gradient method

$$\begin{aligned}x^{(k+1)} &= \operatorname{argmin}_z (f(z) + g(z)) \\&= \operatorname{argmin}_z \left( f(x^{(k)}) + \nabla f(x^{(k)})^T (z - x^{(k)}) + \frac{1}{2\lambda} \|z - x^{(k)}\|_1^2 + g(z) \right) \\&= \operatorname{argmin}_z \left( \frac{1}{2\lambda} \|z - (x - \lambda \nabla f(x^{(k)}))\|_1^2 + g(z) \right) \\&= \operatorname{prox}_{g,y} \left( x^{(k)} - \lambda \nabla f(x^{(k)}) \right) \\&= \operatorname{prox}_{g,y} \left( x^{(k)} - \lambda A^T (Ax^{(k)} - b) \right)\end{aligned}$$

3

# Proximal gradient method

---

## 算法 1 近端梯度算法

---

**输入:**  $x^k, \lambda^{k-1}$ ,  
parameter  $\beta \in (0, 1)$   
Let  $\lambda := \lambda^{k-1}$   
**repeat**  
Let  $z := \text{prox}_{\lambda g}(x^k - \lambda \nabla f(x^k));$   
break if  $f(z) \leq \hat{f}_\lambda(z, x^k);$   
Update  $\lambda := \beta \lambda$   
**return**  $\lambda^k := \lambda, x^{k+1} := z$

---

# 加速近端梯度算法

在近端梯度算法的基础上，更新策略如下：

$$\begin{aligned}y^{(k+1)} &= x^{(k)} + \frac{k}{k+3} (x^{(k)} - x^{(k-1)}) \\x^{k+1} &= \text{prox}_{g,y} (y^{(k+1)} - \lambda \nabla f(y^{(k+1)}))\end{aligned}$$

# 加速近端梯度算法

---

## 算法 2 加速近端梯度算法

---

**输入:**  $y^k, \lambda^{k-1}$ ,  
parameter  $\beta \in (0, 1)$   
Let  $\lambda := \lambda^{k-1}$   
**repeat**  
Let  $z := \text{prox}_{\lambda g}(y^k - \lambda \nabla f(y^k));$   
break if  $f(z) \leq \hat{f}_\lambda(z, y^k);$   
Update  $\lambda := \beta \lambda$   
**return**  $\lambda^k := \lambda, x^{k+1} := z$

---

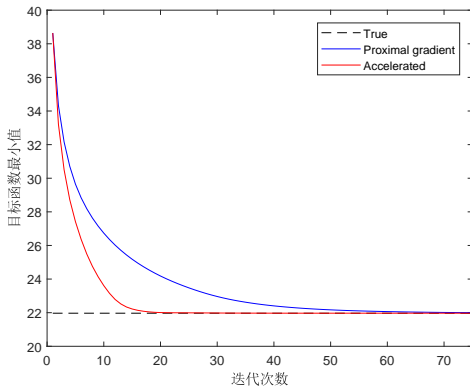


图: 近端梯度算法 vs 加速近端梯度算法

$$\begin{aligned} & \text{minimize} \quad (1/2)\|Ax - b\|^2 + \gamma\|x\|_1 \\ & \quad \text{minimize} \\ & \quad \text{subject to} \quad f(x) + g(z) \\ & \quad \quad \quad x - z = 0 \\ & f(x) = (1/2)\|Ax - b\|^2 \text{ and } g(z) = \gamma\|z\|_1 \end{aligned}$$

$$x^{k+1} := (I + \lambda A^T A)^{-1} (z^k - u^k - \lambda A^T b)$$

$$z^{k+1} := \text{prox}_{\lambda \gamma \|\cdot\|_1} (x^{k+1} + u^k)$$

$$u^{k+1} := u^k + x^{k+1} - z^{k+1}$$

4

---

## 算法 3 ADMM

---

**输入:**  $A, x^k, u^k, z^k$

1: parameter  $\lambda, \rho$

2: **repeat**  $x^{k+1} := (I + \lambda A^T A)^{-1} (z^k - u^k - \lambda A^T b);$

---

5



# 数值实验

$\ell_1$  -regularized least squares (LS) problem:

$$\min \left\{ \frac{1}{2} \|\mathcal{A}x - b\|^2 + \gamma \|x\|_1 \right\}$$

我们比较了近端迭代, 加速近端迭代, ADMM, CVX 来解决这个问题

# 数值实验

参数设置:

$$A \in \mathbf{R}^{m \times n}, A_{ij} \sim \mathcal{N}(0, 1)$$

$$x^{\text{true}} \in \mathbf{R}^n, b = Ax^{\text{true}} + v, v \in 0.01 * (1, m)$$

$$\gamma = 0.1\gamma_{\max}, \gamma_{\max} = \|A^T b\|_{\infty}^6$$

近端迭代的参数设置:  $\lambda = 1$

$\epsilon = 10^{-4}$  为迭代停止标准

计算平台: IntelCore i5-8265 CPU @1.60GHz 8.00GB RAM Windows10

参数设置:  $A=500 \times 2500$ ,  $b=A \cdot x_0 + v$ ,  
其中  $x_0$  为  $n \times 1$  的稀疏矩阵, 密度 (在矩阵中非零元素所占的比例): 0.05,  $v$  为  
 $m \times 1$  的随机生成的数组

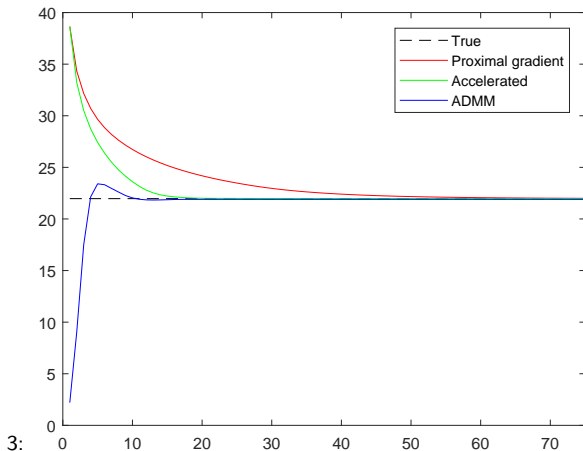


图: Proximal gradient, Accelerated, ADMM

Method	Iterations	Time (s)	$p^*$	Error (abs)
CVX	15	26.53	16.5822	—
Proximal gradient	127	0.72	16.5835	0.09
Accelerated	23	0.15	16.6006	0.26
ADMM	20	0.07	16.6011	0.18

在这个计算中，近端梯度算法迭代较慢，但迭代足够多的次数后，准确性较高，ADMM 和加速近端梯度算法虽然迭代次数较少，但得出的值高于真实目标函数的值

参数设置:  $A=1000 \times 3500$ ,  $b=A \times x_0 + v$ ,  
其中  $x_0$  为  $n \times 1$  的稀疏矩阵, 密度 (在矩阵中非零元素所占的比例): 0.05,  $v$  为  
 $m \times 1$  的随机生成的数组

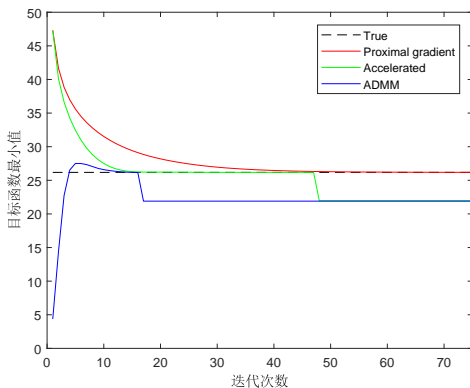


图: Proximal gradient, Accelerated, ADMM

Method	Iterations	Time (s)	$p^*$	Error (abs)
CVX	15	144.0169	23.1788	—
Proximal gradient	70	0.9906	23.5835	0.05
Accelerated	50	0.15	26.1053	3.16
ADMM	27	0.07	26.5721	3.115

在这个计算中，近端梯度算法迭代较慢，但迭代足够多的次数后，准确性较高，ADMM 和加速近端梯度算法虽然迭代次数较少，但得出的低于真实目标函数的值

参数设置:  $A=600 \times 2000$ ,  $b=A \cdot x_0 + v$ ,  
其中  $x_0$  为  $n \times 1$  的稀疏矩阵, 密度 (在矩阵中非零元素所占的比例): 0.05,  $v$  为  
 $m \times 1$  的随机生成的数组

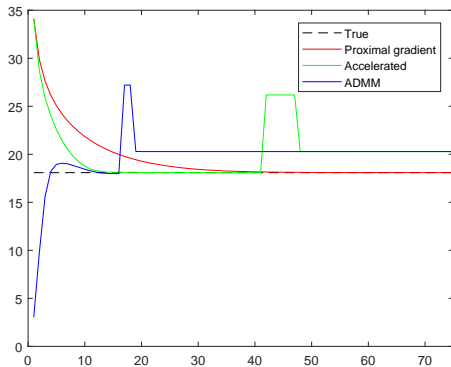


图: Proximal gradient, Accelerated, ADMM

Method	Iterations	Time (s)	$p^*$	Error (abs)
CVX	15	27.5314	18.5822	—
Proximal gradient	100	0.2774	18.5835	0.07
Accelerated	59	0.1559	20.6006	2.26
ADMM	49	0.0589	20.6011	2.18

在这个计算中，近端梯度算法迭代较慢，但迭代足够多的次数后，准确性较高，ADMM 和加速近端梯度算法虽然迭代次数较少，但得出的值高于真实目标函数的值



# 总结

本文通过三种方式计算 lasso 问题，并对这三种算法进行介绍，且着重介绍了近端梯度算法及其加速，我们利用数值实验计算来比较三个算法的优缺点。近端梯度算法迭代较慢，但迭代足够多的次数后，准确性较高，ADMM 和加速近端梯度算法虽然迭代次数较少，但显示出了较大的误差。将三种算法集为一体并进行比较是本文的一大优点，但是由于自身知识面所限，难免会有所错漏，有待改进。

# 小作业分工

二分法:

代码编写: 李宗翰, 袁浩然, 文档写作: 蒋佩禧

牛顿迭代法:

代码编写: 蒋佩禧, 李宗翰, 袁浩然, 文档写作: 李宗翰

# 迭代法的通用算法

$$f(x) = x^2 - 1$$

```
f=sym('x^2-1');  
[c,E,fc]=newton1(f,0,3,0.005,20);
```

	Iter.	Aprox.	Error.
		3.0000	3.0000
1		1.6667	1.3333
2		1.1333	0.5333
3		1.0078	0.1255
4		1.0000	0.0078
5		1.0000	0.0000

# 牛顿法 vs 二分法

$$12 - 3x + 2 \cos x = 0$$

牛顿法:

迭代次数	区间值: b	区间值: a
1	3.43828213866291	3.31995568160492
2	3.31995568160492	3.34836329704004
3	3.34836329704004	3.34741272048233
4	3.34741272048233	3.34740283960879
5	3.34741272048233	3.34740283960879

# 二分法

迭代次数	区间值: a	区间值: b
1	3.000000000000000	3.500000000000000
2	3.250000000000000	3.500000000000000
3	3.250000000000000	3.375000000000000
4	3.312500000000000	3.375000000000000
5 - 13	...	...
14	3.34735107421875	3.34741210937500
15	3.34738159179688	3.34741210937500
16	3.34739685058594	3.34741210937500
17	3.34739685058594	3.34740447998047
18	3.34739685058594	3.34740447998047

# 参考文献